

# **Il segreto del vaccino quantistico SBQ, primo e unico prodotto in Italia.**

*By Simone Caramel*

## **Introduzione**

La Semeiotica Biofisica Quantistica (SBQ) [1-22] offre già dai primi mesi del 2020 un notevole contributo diagnostico riguardo al covid-19 sfruttando tutte le sue potenzialità. In particolare la SBQ è in grado non solo di discernere tra individui covid-19 positivi e negativi, ma tra i negativi essa può stabilire in pochi secondi quali sono asintomatici e quali invece sono completamente sani [23-27].

Si è visto che tra i soggetti covid-19 inizialmente positivi è possibile oltremodo discernere tra coloro che necessitano da subito di maggiori attenzioni ospedaliere e sono a maggior rischio di vita e coloro che invece avranno una sintomatologia lieve trattabile tranquillamente a casa. La possibilità infatti di una accurata diagnosi personalizzata che permette di valutare costituzioni e Reali Rischi congeniti [28-33] di ogni individuo, in particolare del Reale Rischio congenito di pneumopatia [34] è una peculiarità ed uno dei punti di forza della diagnostica e monitoraggio terapeutico SBQ.

La Semeiotica Biofisica Quantistica si occupa però soprattutto di prevenzione primaria e pre-primaria delle patologie, perciò nel corso del 2020 si è concentrata soprattutto nello sviluppo di un vaccino anti-covid-19 che sia il più possibile efficace, non costoso, privo di effetti collaterali, assolutamente non invasivo e disponibile immediatamente ed in tempi rapidissimi per tutta la popolazione mondiale. Queste sono le caratteristiche del vaccino quantistico SBQ, disponibile già da aprile 2020, il primo vaccino prodotto al mondo, nonché ovviamente il primo ed unico vaccino sviluppato e prodotto in Italia.

In questo articolo ne sveliamo il segreto.

## **Il diodo Gunn**

Il segreto del vaccino quantistico semeiotico-biofisico-quantistico, SBQ, scoperto dal dr. Sergio Stagnaro per fronteggiare il covid-19, è racchiuso in un minuscolo cristallo, un semiconduttore [35]. Questo cristallo, l'arseniuro di gallio (GaAs), ha delle straordinarie proprietà e sfrutta ben definiti principi ed effetti fisici, come l'effetto Gunn (da J B Gunn che lo scoprì nel 1962), ma procediamo con ordine.

Innanzitutto, si tratta di un cristallo non rigido nella sua struttura, bensì malleabile, modificabile, al punto che esso è “capace di formare, ristrutturare la somiglianza esatta di radiazioni esterne ad altissima frequenza (Extremely High Frequencies o EHF). Cosa significa?

Dobbiamo pensare che il cristallo arseniuro di gallio (GaAs) è una struttura che irradia, da cui fuoriescono, per sua natura, radiazioni ad altissima frequenza (EHF). Queste radiazioni sono ricche di informazione, sono energia (racchiusa in una banda misurata in Giga Herz, tra i 40 ed i 70 GHz, con una lunghezza d'onda tra 1 e 10 millimetri, da cui il nome anche di onde millimetriche), oscillazioni proprie anche delle cellule vegetali, animali ed umane, energia-informazione, energia-forma che informa, e la forma della struttura GaAs è quella che connota l'informazione della radiazione od oscillazione che viene irradiata (struttura ed oscillazione, forma ed informazione sono due facce della stessa medaglia).

In altri termini, essendo la struttura GaAs modificabile, ad ogni struttura GaAs corrisponde una propria radiazione EHF, una propria informazione (che a sua volta è ciò che dà forma alla forma da cui proviene, proprio nel senso etimologico della parola informazione, ossia ciò che dà forma).

Se applichiamo alla struttura GaAs (ossia al diodo o cristallo) una tensione eccedente un valore di soglia (eccitazione locale) possiamo osservare l'effetto Gunn, tanto che il cristallo o diodo GaAs viene anche chiamato diodo Gunn (oppure TED, che sta per Transferred Electron Device).

Cosa significa effetto Gunn?

La conduzione ha luogo come in ogni semiconduttore, con la corrente proporzionale alla tensione applicata, ma il semiconduttore arseniuro di gallio (GaAs) ha la speciale proprietà di permettere il formarsi di 2 regioni a differenziale di resistenza negativo (la seconda delle quali dovuta all'effetto Gunn). In sostanza si creano due valli.

A causa della diversa curvatura delle valli, gli elettroni hanno una diversa massa effettiva. Per questo, un leggero aumento della tensione ad alte frequenze provoca il passaggio degli elettroni da una valle all'altra valle: ecco perché si dice anche TED, ossia dispositivo che permette il trasferimento degli elettroni.

Ora, se poniamo il diodo Gunn GaAs su un altro oggetto, ad esempio sulla cute, possiamo osservare l'interazione di campi elettromagnetici deboli (quello del diodo e quello della porzione di cute su cui il diodo è appoggiato).

Cosa succede a livello della struttura del cristallo GaAs (Figura 1) e delle sue radiazioni EHF?

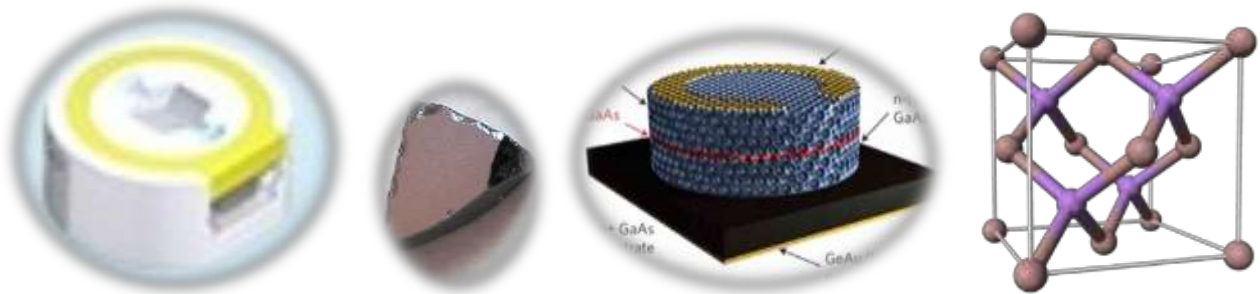


Figura 1. Il diodo Gunn ha struttura cristallina (GaAs). Il cristallo arsenuro di gallio (GaAs) è un semiconduttore, ad alta conduttività e dotato di atomi impuri. Nei siti reticolari del cristallo c'è una pluralità di DAS (momenti di dipolo attivi).

Se applichiamo al cristallo-struttura GaAs una tensione eccedente un valore di soglia (eccitazione locale) sappiamo che c'è l'effetto Gunn, ossia avviene un trasferimento di elettroni, tecnicamente avviene una ristrutturazione dei momenti di dipolo attivi (DAS): c'è polarizzazione, re-irradiazione, reversione dell'equilibrio.

In sostanza, un flusso di elettroni esce dal diodo Gunn (è un cristallo che oscilla, che genera radiazioni EHF) e va verso la cute (Figura 2); poi torna indietro, verso il semiconduttore, un differente flusso di elettroni che sono quelli che provengono dalla cute stessa, così che sfruttando l'effetto Gunn, il cristallo viene ristrutturato (c'è ristrutturazione dei DAS), esso assume un'altra forma, una nuova forma.

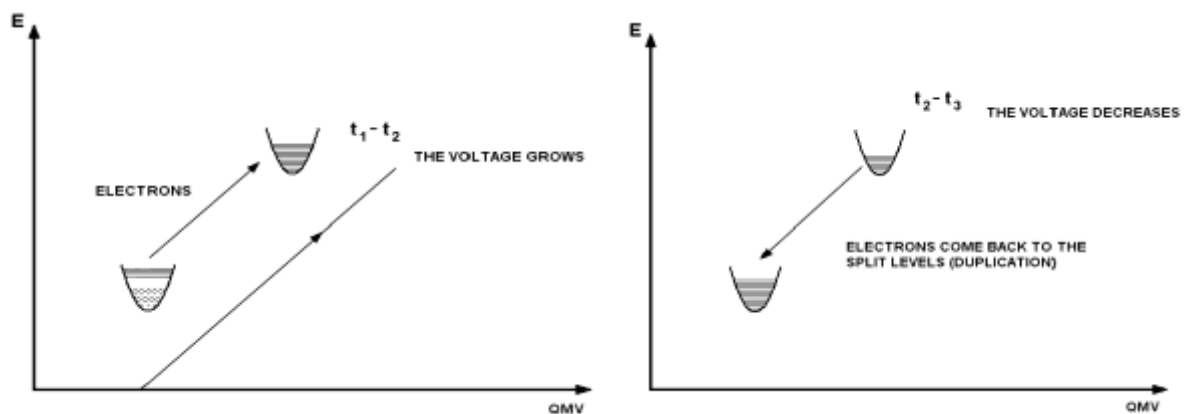
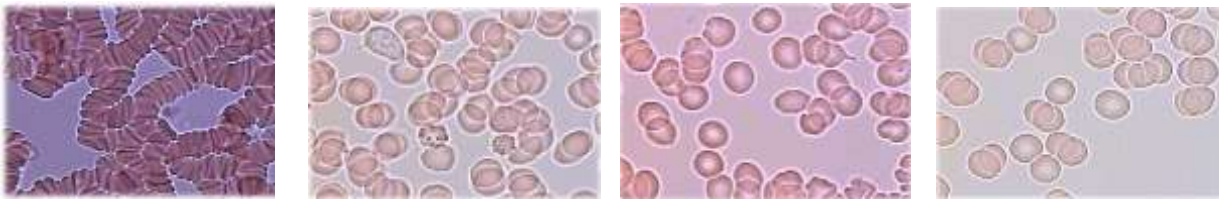


Figura 2. La struttura cristallina del cristallo GaAs si può modificare. Il cristallo è capace di formare-strutturare la somiglianza esatta di radiazioni EHF esterne. A tal fine si sfrutta l'effetto Gunn (che permette il flusso di elettroni che si trovano in due stati di mobilità) e l'interazione dei campi elettromagnetici deboli. C'è ristrutturazione dei DAS (polarizzazione, re-irradiazione, reversione dell'equilibrio), la generazione di fluttuazioni elettromagnetiche EHF (MMW o onde millimetriche), ed il fenomeno della radiazione di risonanza di fondo.

Questa nuova forma del cristallo GaAs genera nuove fluttuazioni elettromagnetiche (EHF) che sono quelle, esattamente quelle provenienti dalla porzione di cute dov'è appoggiato il cristallo. Ora è più chiaro comprendere cosa significa dire che "il cristallo del diodo è capace di formare-ristrutturare la somiglianza esatta di radiazioni EHF esterne". Se poi togliamo la tensione, cosa succede?

C'è il cosiddetto fenomeno della radiazione di risonanza di fondo (Background Resonance Radiation o BRR): gli elettroni che dalla cute erano finiti nel semiconduttore, modificandone la struttura, per l'effetto Gunn, da imprigionati nel semiconduttore, diventano liberi di uscire, c'è reversione dell'equilibrio, c'è re-irradiazione: il diodo Gunn, il cristallo GaAs neo-formato, rinnovato nella sua struttura, ristrutturato, genera nuove fluttuazioni elettromagnetiche EHF, quelle proprie della sua nuova struttura, le medesime, somiglianza esatta delle radiazioni EHF di quella porzione di cute dove è appoggiato il diodo.

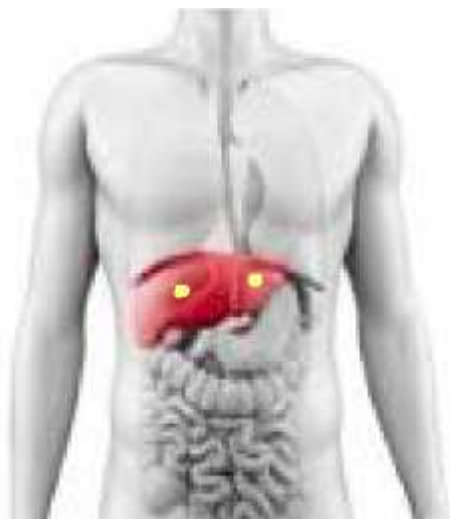
L'utilizzo del diodo Gunn in medicina è molto vantaggioso come è dimostrato dall'esempio mostrato nella figura 3.



*Figura 3. L'applicazione del diodo Gunn su globuli rossi deformati (Fig. 3a), incollati assieme, impilati, ha come effetto che dopo 10 minuti la deformazione diminuisce (Fig. 3b), dopo 30 minuti il numero dei globuli rossi è diminuito significativamente (Fig. 3c), e dopo 60 minuti (Fig. 3d) si presenta una situazione normale di globuli rossi.*

### **Il vaccino quantistico SBQ**

Sfruttando le proprietà del cristallo Gunn, il dottor Stagnaro colloca un diodo sulla proiezione cutanea del lobo sinistro del fegato ed un diodo sulla proiezione cutanea del lobo destro di una persona guarita dal covid-19, che ha già sviluppato gli anticorpi Ig-M e sta producendo anticorpi specifici Ig-G (Figura 4).



*Figura 4. Il posizionamento dei 2 diodi Gunn sul fegato.*

In particolare, attraverso il posizionamento dei 2 diodi come sopra descritto, sfruttando l'effetto Gunn, essi stessi vengono ristrutturati; i cristalli vengono ristrutturati dalle radiazioni provenienti dai linfociti CD8, i globuli bianchi della memoria immunitaria (vedi sotto un frammento dell'intervista al prof. Maggi, Careggi Hospital, Firenze).

I diodi così ristrutturati con le radiazioni EHF dei linfociti CD8, sono in grado di re-irradiare, ri-trasmettere a qualunque soggetto non immune, le medesime radiazioni EHF, energia-informazione, energia-forma che informa, energia-info-training, che va così ad istruire i linfociti CD8 di soggetti non immuni, dicendo loro cosa fare, come comportarsi, nel caso arrivasse il virus in questione, consentendo così una risposta immunitaria efficiente e rapida, che elimina il virus in un tempo brevissimo senza dargli il tempo di sviluppare la malattia [36-39].

Cosa significa energia-informazione, energia-forma che informa, energia-info-training?

Dal punto di vista etimologico, informazione significa "ciò che dà forma". In questo senso l'informazione delle radiazioni EHF della cute che risuona, oscillazioni Ig-G anche con le radiazioni dei linfociti CD8, già addestrati, del sistema immunitario di un soggetto già immunizzato, dà forma, dà nuova forma [40] alle radiazioni EHF dei linfociti CD8, non ancora istruiti, del sistema immunitario di un soggetto non ancora immune, retroagendo tali radiazioni EHF sulla forma stessa dei linfociti non ancora istruiti, ristrutturandoli in primo luogo dal punto di vista sia strutturale che funzionale, formandoli nel pieno senso della parola, una formazione che è un vero e proprio "training", un addestramento del sistema immunitario non ancora formato riguardo nella fattispecie a questo nuovo virus, il covid-19.

Importante poi sottolineare la possibilità di aggiornare in tempo reale (e non dopo mesi od anni come possono purtroppo solo fare i laboratori in tutto il mondo che lavorano nella ricerca sui vaccini tradizionali) il vaccino quantistico SBQ anche se il virus dovesse improvvisamente mutare, ed anche più volte, e con numerose mutazioni.

E' dunque possibile attuare un training aggiornato sui linfociti CD8 addestrandoli ad ogni mutazione del virus, di qualsiasi livello, come quando si fa l'aggiornamento dell'anti-virus del Personal Computer periodicamente od anche quotidianamente.

Altro grande vantaggio è il fatto che il vaccino quantistico SBQ non ha nessun effetto collaterale tipico purtroppo delle vaccinazioni tradizionali e mediante opportune schede (es. Assyria card, BigMother card) può essere irradiato ad intere popolazioni, anche a distanza di centinaia di chilometri.

Altra sottolineatura importante: informando il sistema immunitario epatico scoperto dal dottor Stagnaro stesso, in realtà informiamo i sistemi immunitari di tutti i sistemi biologici, incluso il CALT e il BALT. La spiegazione è offerta dalla Realtà-Non-Locale nei sistemi biologici, cioè dalla presenza dell'*Entanglement anche nei sistemi biologici*.

In sintesi, come esistono i tessuti linfatici associati alla mucosa intestinale (MALT), cervello (CALT), bronchi (BALT), etc., esiste anche un tessuto linfatico [41] associato al fegato (LALT), in considerazione delle caratteristiche modificazioni funzionali epatiche, in particolare micro-circolatorie, osservate dal dottor Stagnaro, in tutti i processi morbosi che attivano il sistema immunitario, compreso il morbo celiaco.

Interessante notare che nella fase acuta di una infezione si osservano fluttuazioni intense delle piccole arterie e arteriole epatiche nella terminologia di Hammersen – durata della diastole 10-12 secondi (lontano dal pasto il valore normale della durata è  $D = 7$  sec.) – che scendono a 8-9 secondi ad avvenuta guarigione. Appare chiara dunque la correlazione di queste differenti dinamiche micro circolatorie con la sintesi di Ig-M e rispettivamente di Ig-G.

## **Evidenze cliniche dell'applicazione del vaccino quantistico SBQ**

Appena scoperto il vaccino quantistico SBQ il dottor Sergio Stagnaro scriveva testualmente nel mese di aprile 2020:

“Il vaccino quantistico porta alla vaccinazione contro il Coronavirus Energia-informazione diretta ai linfociti CD8, custodi della memoria immunitaria. Insomma, non provoca una malattia lieve, come i noti vaccini con effetti collaterali, ma insegna ai linfociti della memoria immunitaria - CD8 - come regolare in modo intenso, tempestivo, efficace le difese immunitarie contro il virus, tipiche di quelli che sono guariti dalla malattia di covid-19”.

“Ascoltiamo il Prof. Maggi della Struttura Immunologica dell'Ospedale di Careggi, Firenze: << L'ideale sarebbe fare test per i linfociti CD8, i globuli bianchi della memoria immunitaria: quando ci saranno, un possibile nuovo “incontro” con il virus porta ad una risposta immunitaria rapida e molto efficiente, che elimina il virus in breve tempo senza sviluppare la malattia >>”. [COVID-19: come funzionano i test degli anticorpi - Focus.it](https://www.focus.it/health/covid-19/come-funzionano-i-test-degli-anticorpi)

“Al momento non esiste una valutazione clinica dell'efficacia dei linfociti CD8, quindi qui potete leggere la scoperta (del dr. Stagnaro), esperimento kantiano di chi non ha paura dei fatti e di portare alla luce le sue scoperte, in questo caso basate sulla Realtà Non-Locale nei sistemi biologici, dove Tempo e Spazio non esistono nel senso comunemente inteso. Le valutazioni sono state fatte come segue:

A) Soggetto normale: si valuta la base dell'efficacia - ad esempio - del BALT superiore come durata e intensità della diastole del cuore periferico locale: Durata (D) = 6 secondi; Intensità (I) di 1 cm.

B) Soggetto che ha superato la malattia: Durata (D) = 8 secondi; Intensità (I) non inferiore a 2 cm.

C) Soggetto vaccinato con vaccino quantistico SBQ: Durata (D) = 8 secondi; Intensità (I) non inferiore a 2 cm. Come sopra al punto B), ossia valori identici a quelli di un soggetto che ha superato la malattia!

Si è provveduto a catturare le radiazioni EHF delle varie componenti del fegato (come sopra descritte) di un soggetto che ha superato il contagio da SARS-Cov-2, per poi re-irradiarle su 30 persone sane (Maschi 14, Femmine 16, età compresa tra 10 e 80 anni) valutandone i benefici ottenuti.

L'aumento della sintesi di Ig-G è risultato significativo. Di base è stato valutato il Riflesso Epato-Gastrico Aspecifico lontano dai pasti: tempo di Latenza (Lt) di 8 secondi e Durata (D) tra i 3 ed i 4 secondi. Subito dopo l'irradiazione dei soggetti sottoposti a vaccino quantistico SBQ, il tempo di latenza (Lt) è raddoppiato, salendo a 16 secondi, con Durata di 4-5 secondi. Il Segno di Spattini, ricercato nella faringe e nel muscolo scheletrico era assente di base, ma presente dopo la vaccinazione: Lt =

7-8 sec. e D = 4-7 sec. Di estremo interesse i dati della Microangiologia Clinica. Di base e lontano dai pasti, le fluttuazioni del cuore periferico epatico mostravano una intensità non superiore a 1,5 cm e durata della diastole di 7 sec. Dopo la vaccinazione l'intensità superava i 2 cm e la durata saliva a 8 sec., come nei soggetti che avevano superato il contagio da Coronavirus”.

## Conclusioni

Il vaccino quantistico SBQ è realtà, perché già diverse persone sono immuni al covid-19, secondo la diagnostica ed il monitoraggio terapeutico della Semeiotica Biofisica Quantistica, grazie a questa originale immunizzazione, come ad esempio coloro che fanno parte del progetto Riva Trigoso [42].

Potremmo portare non solo articoli, ma tanti esempi e testimonianze, come quella di due infermiere irradiate dal diodo-cristallo Gunn con le radiazioni EHF del vaccino immunizzante SBQ: ebbene nel reparto d'ospedale dove lavorano si sono contagiati tutti, medici ed infermieri, proprio tutti positivi, tranne loro due. C'è qualcuno che sa spiegarne il motivo?

## Bibliografia

- [1] Stagnaro-Neri M, Stagnaro S. Introduzione alla Semeiotica Biofisica. Il Terreno Oncologico. Travel Factory, Roma, 2004. [http://www.travelfactory.it/semeiotica\\_biofisica.htm](http://www.travelfactory.it/semeiotica_biofisica.htm)
- [2] Stagnaro S. La Semeiotica Biofisica Quantistica e la Diagnostica Psicocinetica. SISBQ, 2010. Available at: [http://www.sisbq.org/uploads/5/6/8/7/5687930/dp\\_libro.pdf](http://www.sisbq.org/uploads/5/6/8/7/5687930/dp_libro.pdf)
- [3] Stagnaro S. Psychokinetic Diagnostics, QBS Evolution. JOQBS, 2010. Available at: [http://www.sisbq.org/uploads/5/6/8/7/5687930/psychokineticdiagnostics\\_qbsevolution.pdf](http://www.sisbq.org/uploads/5/6/8/7/5687930/psychokineticdiagnostics_qbsevolution.pdf)
- [4] Caramel S. Auscultatory Percussion of the Stomach, according to Sergio Stagnaro. Handbook, SISBQ, 2011. Available at: [http://www.sisbq.org/uploads/5/6/8/7/5687930/cardiogarap\\_handbook.pdf](http://www.sisbq.org/uploads/5/6/8/7/5687930/cardiogarap_handbook.pdf)
- [5] Stagnaro S, Caramel S. New ways in physical Diagnostics: Brain Sensor Bedside Evaluation. The Gandolfo's Sign. January, 2012. Journal of Quantum Biophysical Semeiotics. <http://www.sisbq.org/uploads/5/6/8/7/5687930/bsbe.pdf>
- [6] Stagnaro S. Ruolo diagnostico centrale della Manovra di Burigana nella Connettomologia Clinica SBQ, neuromale e non-neuronale, JOQBS, 2018. Available at: <http://www.sisbq.org/uploads/5/6/8/7/5687930/manovraburigana.pdf>
- [7] Stagnaro S, Caramel S. Bedside Diagnosis of Common Flu and “Flu-Dependent Brain X Syndrome. Journal of Infection and Molecular Biology 1 (2):27-31, 2013. Nexus Academic Publisher. Available at: [http://www.nexusacademicpublishers.com/table\\_contents\\_detail/2/44](http://www.nexusacademicpublishers.com/table_contents_detail/2/44)
- [8] Testerini D. Diagramma Dell'indagine Percusso-Auscultatoria Dell' U.M.V.T. Della Plica Ungueale Del Polpastrello Digitale, JOQBS, 2020. Available at: <http://www.sisbq.org/uploads/5/6/8/7/5687930/umtvpolpastrellodigitale.pdf>

- [9] Stagnaro S. Sindrome percusso-ascoltatoria di Iperfunzione del Sistema Reticolo-Istiocitario. Min. Med. 74, 479, 1983 [Medline]
- [10] Stagnaro S. Extracellular vesicles play a secondary role in the onset of Oncological and degenerative disorders, including T2DM, towards the Quantum Biophysical Semeiotic Constitution-Dependent, Inherited Real Risks. Spattini's Sign. JOQBS, 2019. Available at: [http://www.sisbq.org/uploads/5/6/8/7/5687930/spattinis\\_sign.pdf](http://www.sisbq.org/uploads/5/6/8/7/5687930/spattinis_sign.pdf)
- [11] Stagnaro S. Terziani's Maneuvre in early recognizing cancer from its first stage, Inherited Real Risk. Sisbq.org, <http://www.sisbq.org/uploads/5/6/8/7/5687930/terzianimaneuvre.pdf>
- [12] Stagnaro-Neri M., Stagnaro S. Indagine clinica percusso-ascoltatoria delle unità microvascolotessutali della plica ungueale. Acta Med. Medit. 4, 91, 1988.
- [13] Sergio Stagnaro S, Neri Stagnaro M. Microangiologia Clinica. A cura di Simone Caramel. Ebook, 2019. Available at: <http://www.sisbq.org/uploads/5/6/8/7/5687930/microangiologiaclinicاسبq2016.pdf>
- [14] Stagnaro S. Compendio di Microangiologia Clinica, Connettologia Neuronale e Non-Neuronale, Reali Rischi Congeniti, base della Prevenzione Pre-Primaria e Primaria, secondo la Semeiotica Biofisica Quantistica. Available at: [http://www.sisbq.org/uploads/5/6/8/7/5687930/compendio\\_mc.pdf](http://www.sisbq.org/uploads/5/6/8/7/5687930/compendio_mc.pdf)
- [15] Stagnaro S. Introduzione alla Microangiologia Clinica. 10 dicembre 2011. [www.sisbq.org](http://www.sisbq.org), Available at: [http://www.sisbq.org/uploads/5/6/8/7/5687930/mc\\_intro.pdf](http://www.sisbq.org/uploads/5/6/8/7/5687930/mc_intro.pdf)
- [16] Stagnaro S. Ecocardiogramma Semeiotico-Biofisico-Quantistico. Valutazione delle Funzioni Cardiache. Reale Rischio Congenito di Cad. [www.sisbq.org](http://www.sisbq.org) Available at: [http://www.sisbq.org/uploads/5/6/8/7/5687930/ecg\\_sbq.pdf](http://www.sisbq.org/uploads/5/6/8/7/5687930/ecg_sbq.pdf)
- [17] Stagnaro S. Semeiotica Biofisica Quantistica. Nuovi Orizzonti della Diagnostica Fisica. Dic 2011. Available at: <http://www.sisbq.org/uploads/5/6/8/7/5687930/sbqnuoviorizzontidiagnosimedica.pdf>
- [18] Stagnaro S, Caramel S. Manovra di Condorelli: diagnosi clinica delle lesioni focali epatiche anche iniziali. <http://www.sisbq.org/libri-e-articoli.html>  
[http://www.sisbq.org/uploads/5/6/8/7/5687930/condorelli\\_it\\_2014.pdf](http://www.sisbq.org/uploads/5/6/8/7/5687930/condorelli_it_2014.pdf)
- [19] Stagnaro S. Valutazione Semeiotico\_Biofisico\_Quantistica dell'Attività Funzionale dei Sistemi Biologici. Il Ruolo dei Dispositivi Endoarteriolar di Blocco, fisiologici e neoformati-patologici tipo I, sottotipo a) e b). SISBQ; 2012. Available at: [http://www.sisbq.org/uploads/5/6/8/7/5687930/valutazione\\_attivit\\_biolg\\_2012.pdf](http://www.sisbq.org/uploads/5/6/8/7/5687930/valutazione_attivit_biolg_2012.pdf)
- [20] Stagnaro S. Disfunzione del SNV, Diabete Mellito tipo 2 e Cardiopatia Ischemica nella Sindrome Metabolica. Effetti della Melatonina. [http://www.sisbq.org/uploads/5/6/8/7/5687930/articoli\\_fce\\_primaparte.pdf](http://www.sisbq.org/uploads/5/6/8/7/5687930/articoli_fce_primaparte.pdf)
- [21] Stagnaro S., Stagnaro-Neri M. La Melatonina nella Terapia del Terreno Oncologico e del "Reale Rischio" Oncologico. Travel Factory, Roma, 2004. [http://www.travelfactory.it/semeiotica\\_biofisica\\_2.htm](http://www.travelfactory.it/semeiotica_biofisica_2.htm)
- [22] Stagnaro S., Stagnaro-Neri M. Single Patient Based Medicine. La Medicina Basata sul Singolo Paziente: Nuove Indicazioni della Melatonina. Travel Factory, Roma, 2005. [http://www.travelfactory.it/libro\\_singlepatientbased.htm](http://www.travelfactory.it/libro_singlepatientbased.htm)
- [23] Sergio Stagnaro (2020). Esame Obiettivo Semeiotico-Biofisico-Quantistico per la Diagnosi Clinica Precoce di Contagio da Coronavirus (articolo aggiornato al 20 marzo 2020). <http://www.sisbq.org/uploads/5/6/8/7/5687930/diagnosisbqcovid19.pdf>
- [24] Sergio Stagnaro (2020) Ruolo diagnostico dei Brain Sensors nella lotta al Coronavirus. in pdf <http://www.sisbq.org/uploads/5/6/8/7/5687930/brainsensorcoronavirus.pdf>
- [25] Sergio Stagnaro (2020). Lettera Aperta al Ministro della Salute, On Roberto Speranza. Il non detto da dire sull'Epidemia da Coronavirus, secondo un vecchio Clinico. 04-03-2020. <https://sergiostagnaro.wordpress.com/2020/03/04/lettera-aperta-alministro-della-salute-on-roberto-speranza-il-non-detto-da-dire-suulepidemia-dacoronavirus-secondo-un-vecchio-clinico/>
- [26] Sergio Stagnaro (2020). Combattere il coronavirus migliorando struttura/ funzione mitocondriale. il parere di un vecchio clinico, oggi condiviso dagli autori. <https://sergiostagnaro.wordpress.com/2020/03/08/combattere-ilcoronavirus-migliorando-struttura-funzione-mitocondriale-il-pareredi-un-vecchio-clinico-oggi-condiviso-dagli-autori/>
- [27] Simone Caramel, Sergio Stagnaro (2020). Valutazione clinica semeiotico-biofisico-quantistica della struttura/funzione del timo. <http://www.sisbq.org/uploads/5/6/8/7/5687930/timo.pdf>

- [28] Stagnaro S, Caramel S. Inherited Real Risk of Type 2 Diabetes Mellitus: bedside diagnosis, pathophysiology and primary prevention. *Front Endocrinol* 2013, 4:17. [Medline]
- [29] Stagnaro S, Caramel S. Vascular calcification and Inherited Real Risk of lithiasis. *Front. In Encocrin.* 3:119. [http://www.frontiersin.org/Bone\\_Research/10.3389/fendo.2012.00119/full](http://www.frontiersin.org/Bone_Research/10.3389/fendo.2012.00119/full) [Medline]
- [30] Stagnaro S, Caramel S. The Inherited Real Risk of Coronary Artery Disease, *Nature PG, EJCN, Nature PG*, 2013. <http://www.nature.com/ejcn/journal/v67/n6/full/ejcn201337a.html> [Medline]
- [31] Stagnaro S, Caramel S. The Key Role of Vasa Vasorum Inherited Remodeling in QBS Microcirculatory Theory of Atherosclerosis. *Frontiers in Epigenomics and Epigenetics*, 2013. [http://www.frontiersin.org/Epigenomics\\_and\\_Epigenetics/10.3389/fgene.2013.00055/full](http://www.frontiersin.org/Epigenomics_and_Epigenetics/10.3389/fgene.2013.00055/full) [Medline]
- [32] Stagnaro S, Caramel S. BRCA-1 and BRCA-2 mutation bedside detection and breast cancer clinical primary prevention. *Front Genet* 2013, 4:39. [Medline]
- [33] Marchionni M, Caramel S, Stagnaro S: Inherited real risk of Alzheimer's disease: bedside diagnosis and primary prevention. *Front Aging Neurosci* 2013, 5:13. [Medline]
- [34] Sergio Stagnaro (2020). Il ruolo centrale del Reale Rischio congenito di pneumopatia nella lotta alla pandemia di coronavirus. identikit di chi muore per covid-19. <https://sergiostagnaro.wordpress.com/2020/03/27/ilruolo-centrale-del-reale-rischio-congenito-di-pneumopatia-nella-lottaalla-pandemia-di-coronavirus/>
- [35] Caramel S, Stagnaro S, Pyatakovich FA, Yakunchenko TI, Makkonen KF, Moryleva ON. Background Millimeter Radiation Influence in Cardiology on patients with metabolic and pre-metabolic syndrome. *Journal of Infrared and Millimeter Waves*. Shangai, China, Vol.1, Feb 2014. Available at: [http://journal.sitp.ac.cn/hwyhmb/hwyhmben/ch/reader/view\\_abstract.aspx?flag=1&file\\_no=120750&journal\\_id=hwyhmben](http://journal.sitp.ac.cn/hwyhmb/hwyhmben/ch/reader/view_abstract.aspx?flag=1&file_no=120750&journal_id=hwyhmben)
- Disponibile al link: <http://www.sisbq.org/uploads/5/6/8/7/5687930/qbscovidfree.pdf>
- [36] Stagnaro S. La Vaccinazione contro il coronavirus, secondo la Semeiotica Biofisica Quantistica. Disponibile ai links: <http://www.sisbq.org/uploads/5/6/8/7/5687930/vaccinazionecoronavirus.pdf>;
- In inglese: <http://www.sisbq.org/uploads/5/6/8/7/5687930/coronavirusqbsvaccination.pdf>
- [37] Stagnaro S, Marchionni M, Caramel S. Covid-19 free through Quantum Biophysical Semeiotics psychokinetic diagnostics, primary prevention and vaccination. *JOQBS*, 2020.
- [38] **Stagnaro S (2020)**. Quantum Vaccine against Coronavirus: Action Mechanism. <https://sergiostagnaro.wordpress.com/2020/05/12/quantum-vaccine-against-coronavirus-action-mechanism/>
- [39] Sergio Stagnaro (2020). Cronache dal Futuro: Soggetti immunizzati contro il Coronavirus con ripetuti tamponi negativi, in assenza di vaccino. <https://sergiostagnaro.wordpress.com/2020/04/28/cronache-dal-futuro-la-lotta-clinicaal-coronavirus-con-la-semeiotica-biofisica-quantistica-nel-2020-era-occultata-dalpotere-economico-e-dai-barbari/>
- [40] Simone Caramel (2020) "Epistemologia della Semeiotica Biofisica Quantistica. Entanglement, non-località e caos deterministico nei sistemi biologici degli esseri umani". Disponibile al link: [http://www.sisbq.org/uploads/5/6/8/7/5687930/caosentanglementqbs\\_review.pdf](http://www.sisbq.org/uploads/5/6/8/7/5687930/caosentanglementqbs_review.pdf)
- [41] Sergio Stagnaro (2020). Sergio Stagnaro (2020) Tessuto Linfatico Associato al Fegato, LALT. Ruolo Centrale nella Preparazione del Vaccino contro il Coronavirus. <http://www.sisbq.org/uploads/5/6/8/7/5687930/lalt.pdf>
- [42] Sergio Stagnaro (2020). Il progetto Riva Trigoso. La lotta Semeiotico-Biofisico Quantistica al coronavirus. <http://www.sisbq.org/uploads/5/6/8/7/5687930/progettorivacovid19.pdf>